

# ВЛИЯНИЕ ЭНЕРГИИ СЦЕПЛЕНИЯ НА ВЫтянутую ФОРМУ ТАКТОИДОВ В ЛИОТРОПНЫХ НЕОРГАНИЧЕСКИХ ЖИДКИХ КРИСТАЛЛАХ

*A. B. Казначеев, M. M. Богданов, A. C. Сонин\**

Институт элементоорганических соединений им. А. Н. Несмеянова  
Российской академии наук  
117813, Москва, Россия

Поступила в редакцию 17 апреля 2003 г.

Построена модель, описывающая вытянутую форму анизотропных областей — тактоидов — существующих с изотропной фазой в лиотропных неорганических жидкокристаллических кристаллах. При этом учтены упругая энергия тактоида, поверхностная энергия и энергия взаимодействия поля директора с границей тактоида. Показано, что крупные тактоиды вытянуты за счет конкуренции между упругой энергией нематической фазы тактоида и поверхностной энергией. Мелкие тактоиды вытянуты за счет конкуренции между поверхностной энергией и энергией сцепления директора с границей тактоида. С помощью предложенной модели из экспериментальных данных определены отношение констант упругости  $K_3/K_1$  и отношение энергии сцепления  $W$  к поверхностному натяжению  $\sigma$  в зависимости от «времени старения» золей пятиокиси ванадия в воде.

PACS: 61.30.St, 61.30.-v, 61.30.Hn

## 1. ВВЕДЕНИЕ

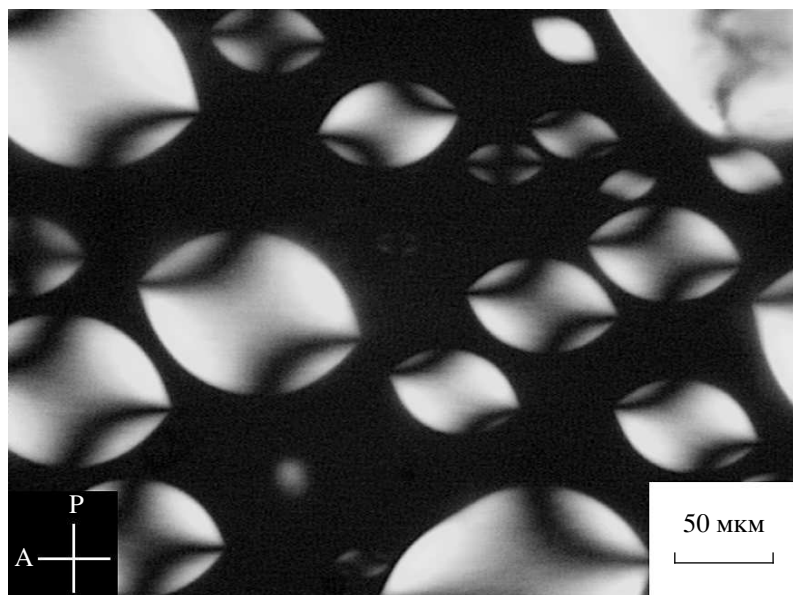
К настоящему времени макроскопическая физика термотропных жидкокристаллических кристаллов (ЖК) в общих чертах построена [1–3]. Сейчас центр тяжести исследований перемещается в область лиотропных ЖК, образующих мезофазы при растворении некоторых веществ в определенных растворителях [4–7]. Среди лиотропных жидкокристаллических кристаллов по химической классификации существует класс неорганических ЖК. Они возникают в дисперсиях неорганических веществ [7–10]. Эти системы известны еще с 20-х годов, но физика их совершенно не изучена.

В последние годы в ряде наших работ [11–13] начато систематическое изучение упругости лиотропных неорганических мезофаз на примере типично-го жидкокристаллического водного золя пятиокиси ванадия. При этом особый интерес вызывает так называемая тактоидная фаза, возникающая при низких ( $\sim 1$  масс.%) концентрациях пятиокиси ванадия. Она представляет собой двухфазную систему, в которой одна из фаз является изотропной, а

вторая — анизотропной мезофазой. Эта последняя вкраплена в изотропную фазу в виде вытянутых веретенообразных капель, которые и называются тактоидами (рис. 1). До последнего времени работы, посвященные изучению тактоидной фазы, являлись в основном описательными [14–17]. Одним из главных вопросов при изучении тактоидов является вопрос о молекулярном строении и причинах формирования двухфазной системы в виде дисперсии. Этот вопрос остается без ответа и по сей день. Однако здесь существует еще один не менее важный вопрос, почему тактоиды имеют вытянутую форму, а не форму шара, как это обычно наблюдается для капель термотропных жидкокристаллических кристаллов [18].

В предыдущей нашей работе [13] было предложено теоретическое описание вытянутой формы тактоидов и получено выражение для свободной энергии тактоида как суммы упругой энергии нематической фазы и поверхностной энергии. Исследование свободной энергии на экстремум позволило получить зависимость геометрических размеров тактоидов от материальных констант мезофазы. Сопоставление экспериментальных результатов по разме-

\*E-mail: son@pmc.ineos.ac.ru



**Рис. 1.** Текстура тактоидной фазы в золе пятиокись ванадия ( $V_2O_5$ ) – вода при концентрации  $V_2O_5$  1.1 масс.%.  
Толщина ячейки 200 мкм

рам тактоидов с теоретическими зависимостями дало возможность получить значения отношения констант упругости и отношения констант упругости к поверхностному натяжению. Оказалось, что отношение констант упругости  $K_3/K_1$  в изученной системе в некоторых случаях может достигать 100, что намного больше, чем найдено для термотропных жидкокристаллических кристаллов (не более 3) [1, 19].

В настоящей работе продолжено изучение этой необычной мезофазы. Оказалось, что в ряде случаев сопоставление размеров тактоидов с теоретическими зависимостями приводит к некоторым противоречиям. Для их устранения оказалось необходимым в ранее полученном выражении для свободной энергии тактоида учесть энергию сцепления между полем директора и границей между тактоидом и изотропной фазой. Такой подход дал возможность выяснить причины вытянутой формы как крупных тактоидов, для которых выполняется условие сильной связи директора с границей, так и мелких тактоидов, для которых это условие нарушается. Сопоставление теоретических результатов с экспериментом по измерению размеров тактоидов различного объема позволило определить отношение констант упругости  $K_3/K_1$  и отношение энергии сцепления  $W$  к поверхностному натяжению  $\sigma$  в зависимости от «времени старения» золей пятиокиси ванадия в воде.

В разд. 2 представлена модель формы и поля ди-

ректора нематической фазы тактоида, основанная на экспериментальных фактах. Сделана постановка задачи, в которой учитывается упругая энергия тактоида, поверхностная энергия и энергия взаимодействия поля директора с границей тактоида. Проведен анализ задачи, в котором рассмотрены случаи, допускающие аналитическое решение и позволяющие выяснить физические причины вытянутой формы тактоидов. В заключение представлено численное решение задачи. В разд. 3 представлены методика и результаты эксперимента по измерению размеров тактоидов различного объема в лиотропном неорганическом жидкокристалле пятиокись ванадия — вода. Проведено сопоставление полученных экспериментальных результатов с предложенной моделью формы тактоидов. В результате получены зависимости физических свойств тактоидной фазы от ее «времени старения». В разд. 4 суммированы основные результаты работы.

## 2. ВЛИЯНИЕ ЭНЕРГИИ СЦЕПЛЕНИЯ И УПРУГОСТИ НЕМАТИЧЕСКОЙ ФАЗЫ ТАКТОИДОВ НА ИХ ВЫТЯНУТУЮ ФОРМУ

### 2.1. Постановка задачи

В предыдущей нашей работе [13] на основе экспериментальных фактов была предложена модель

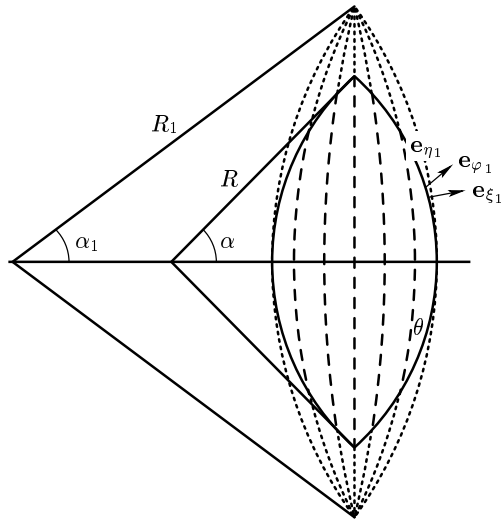


Рис. 2. Модель формы и поля директора нематической фазы тактоида

формы и поля директора нематической фазы тактоида. Показано, что граница тактоида — поверхность вращения дуги окружности радиусом  $R$  с углом раствора  $2\alpha$  вокруг ее хорды. Поле директора на границе тактоида из-за сильной связи имеет тангенциальную ориентацию. При условии конечной энергии сцепления директор на границе может отклоняться от тангенциальной ориентации. Для того чтобы учесть эту возможность, в настоящей работе используется поле директора, которое задается ортом  $e_{\eta_1}$  бисферической системы координат.

На рис. 2 представлена модель формы и поля директора нематической фазы тактоида. Переменными задачи являются  $R$  и  $\alpha$ , описывающие форму тактоида, и  $R_1$ ,  $\alpha_1$ , описывающие поле директора в нем. Единичный вектор  $n$  совпадает с ортом  $e_{\eta_1}$  бисферической системы координат [20]. Угол  $\alpha$  может принимать значения от нуля (иглообразная форма тактоида) до  $\pi/2$  (форма шара). Угол  $\alpha_1$  изменяется от нуля (однородное поле директора) до  $\alpha$  (директор на границе имеет тангенциальную ориентацию). Между этими переменными существуют два уравнения связи

$$V = R^3 \Psi(\alpha) = \text{const}, \quad (1)$$

$$R(1 - \cos \alpha) = R_1(1 - \cos \alpha_1), \quad (2)$$

где  $\Psi(\alpha) = 2\pi(\sin \alpha - \alpha \cos \alpha - (\sin^3 \alpha)/3)$ . Формула (1) выражает постоянство объема  $V$  тактоида, равенство (2) следует из геометрии задачи. В силу наличия уравнений связи независимых переменных две. В качестве таких переменных можно выбрать  $\alpha$  и  $\alpha_1$ . Однако для дальнейших вычисле-

ний удобно перейти к независимым переменным  $\alpha$  и  $\gamma = (\tan(\alpha_1/2)/\tan(\alpha/2))^2$ , где  $0 \leq \gamma \leq 1$ .

Равновесная форма тактоида постоянного объема определяется минимумом его полной энергии  $\Phi$ , которая складывается из упругой энергии  $\Phi_{el}$  нематической фазы, поверхностной энергии  $\Phi_S$  и энергии  $\Phi_W$  взаимодействия поля директора с поверхностью. Упругая энергия связана с искажением поля директора [1], и ее выражение можно записать сразу, исходя из соображений размерности:

$$\Phi_{el} = K_1 R \Phi_{el}^{(1)}(\alpha, \gamma) + K_3 R \Phi_{el}^{(3)}(\alpha, \gamma), \quad (3)$$

где  $K_1$  и  $K_3$  — константы упругости соответственно поперечного и продольного изгибов [1],  $\Phi_{el}^{(1)}(\alpha, \gamma)$  и  $\Phi_{el}^{(3)}(\alpha, \gamma)$  — безразмерные функции переменных  $\alpha$  и  $\gamma$ , связанные с этими деформациями. Расчет этих функций приведен в Приложении I. Поверхностная энергия  $\Phi_S = \sigma S$ , где  $\sigma$  — поверхностное натяжение,  $S$  — площадь поверхности тактоида. Выражение для  $\Phi_S$  получается при вычислении  $S$  и имеет вид

$$\Phi_S = \sigma R^2 \Phi_S(\alpha), \quad (4)$$

где  $\Phi_S(\alpha) = 4\pi(\sin \alpha - \alpha \cos \alpha)$ . Энергия  $\Phi_W$  взаимодействия поля директора с поверхностью вычисляется по формуле [21]

$$\Phi_W = \int_S w(\theta) dS, \quad (5)$$

где  $w(\theta) = (W/2) \sin^2 \theta$  — потенциал Рапини [21],  $W$  — энергия сцепления,  $\theta$  — угол между директором и поверхностью тактоида (см. рис. 2). Выражение для  $\Phi_W$  можно записать сразу, исходя из соображений размерности:

$$\Phi_W = W R^2 \Phi_W(\alpha, \gamma), \quad (6)$$

где  $\Phi_W(\alpha, \gamma)$  — безразмерная функция переменных  $\alpha$  и  $\gamma$ . Расчет этой функции приведен в Приложении II. Выражая  $R$  из уравнения связи (1) и подставляя в (3), (4) и (6), получаем формулу для полной энергии тактоида постоянного объема

$$\tilde{\Phi} = \frac{K_i}{\sigma V^{1/3}} \Psi_i(\alpha, \gamma) + \Psi_S(\alpha) + \frac{W}{\sigma} \Psi_W(\alpha, \gamma), \quad (7)$$

где  $\tilde{\Phi} = \Phi/\sigma V^{2/3}$  — безразмерная энергия,  $\Psi_i(\alpha, \gamma) = \Phi_{el}^{(i)}(\alpha, \gamma)/\Psi^{1/3}$  ( $i = 1, 3$ ), по повторяющемуся индексу  $i$  здесь и далее подразумевается суммирование,  $\Psi_S(\alpha) = \Phi_S(\alpha)/\Psi^{2/3}$ ,  $\Psi_W(\alpha, \gamma) = \Phi_W(\alpha, \gamma)/\Psi^{2/3}$ .

Выражение (7) для полной энергии содержит безразмерный параметр  $W/\sigma$ , характерные размеры задачи  $C_i = K_i/\sigma$  ( $i = 1, 3$ ) и значение объема  $V$  тактоида. Задавая эти величины, можно найти равновесные значения  $\alpha$  и  $\gamma$ , которые соответствуют минимуму энергии (7). Далее, формулы (1) и (2) позволяют рассчитать равновесные значения  $R$  и  $R_1$ . Таким образом, мы получаем полную информацию о равновесной форме и поле директора тактоида постоянного объема. Изменение значения  $V$  приводит к изменению равновесных значений переменных задачи. Среди различных зависимостей, которые здесь могут быть получены, наиболее важной является  $R(\alpha)$ . Это связано с тем, что она может быть соотнесена с экспериментальными результатами по измерению размеров тактоидов различного объема. В силу сложности выражений  $\Psi_i(\alpha, \gamma)$  ( $i = 1, 3$ ) и  $\Psi_W(\alpha, \gamma)$  исследование энергии (7) на экстремум и получение зависимостей  $R(\alpha)$  проводится численно. Эти результаты представлены в разд. 2.3.

Для того чтобы понять физические причины вытянутой формы тактоидов и заранее предугадать результаты численного решения, в следующем разделе рассмотрены случаи, допускающие аналитическое решение поставленной задачи.

## 2.2. Анализ задачи

Первый случай соответствует условию сильной связи. Если  $W/\sigma \gg 1$  и  $W/\sigma \gg K_i/\sigma V^{1/3}$ , то  $\Psi_W(\alpha, \gamma) = 0$  и  $\gamma = 1$ , так как небольшие отклонения директора от тангенциальной ориентации приводят к резкому увеличению последнего слагаемого в выражении для энергии (7). При этом формула (7) принимает более простой вид:

$$\tilde{\Phi} = \frac{K_i}{\sigma V^{1/3}} \Psi_i(\alpha, 1) + \Psi_S(\alpha), \quad (8)$$

где  $\Psi_i(\alpha, 1)$  — возрастающие функции угла  $\alpha$ , которые имеют аналитическое выражение (см. Приложение I). Так как  $\Psi_S(\alpha)$  — убывающая функция, конкуренция между упругими и поверхностным слагаемыми в формуле (8) приводит к появлению минимума  $\tilde{\Phi}$ . Исследуя энергию (8) на экстремум, можно получить зависимость  $R(\alpha)$ , которая, как и в работе [13], имеет вид

$$R = C_1 f_1(\alpha) + C_3 f_3(\alpha), \quad (9)$$

где  $C_i = K_i/\sigma$  ( $i = 1, 3$ ) — характерные размеры задачи,

$$f_1(\alpha) = \frac{\alpha \sin \alpha - 2\alpha^2 \cos \alpha + \sin^2 \alpha \cos \alpha}{\cos \alpha [\alpha(\alpha + \sin \alpha \cos \alpha) - 2 \sin^2 \alpha]},$$

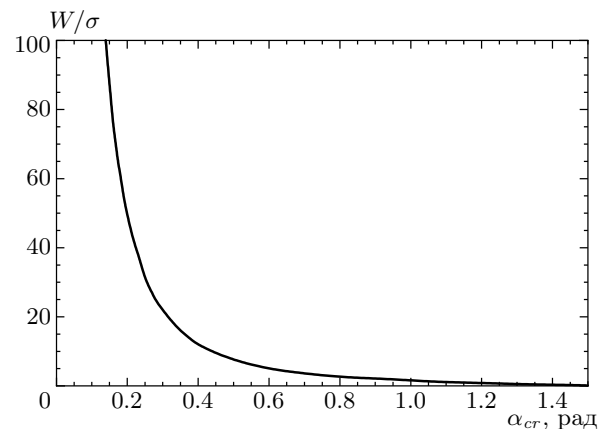


Рис. 3. Зависимость  $\alpha_{cr}$  от  $W/\sigma$

$$f_3(\alpha) = \frac{(\alpha^2 - \sin^2 \alpha) [\alpha(1 + 2 \cos^2 \alpha) - 3 \sin \alpha \cos \alpha]}{4 \sin \alpha \cos \alpha [\alpha(\alpha + \sin \alpha \cos \alpha) - 2 \sin^2 \alpha]}$$

— возрастающие функции угла  $\alpha$ .

На основе сказанного можно сделать вывод, что при условии сильной связи тактоиды вытянуты за счет конкуренции между упругой и поверхностной энергией.

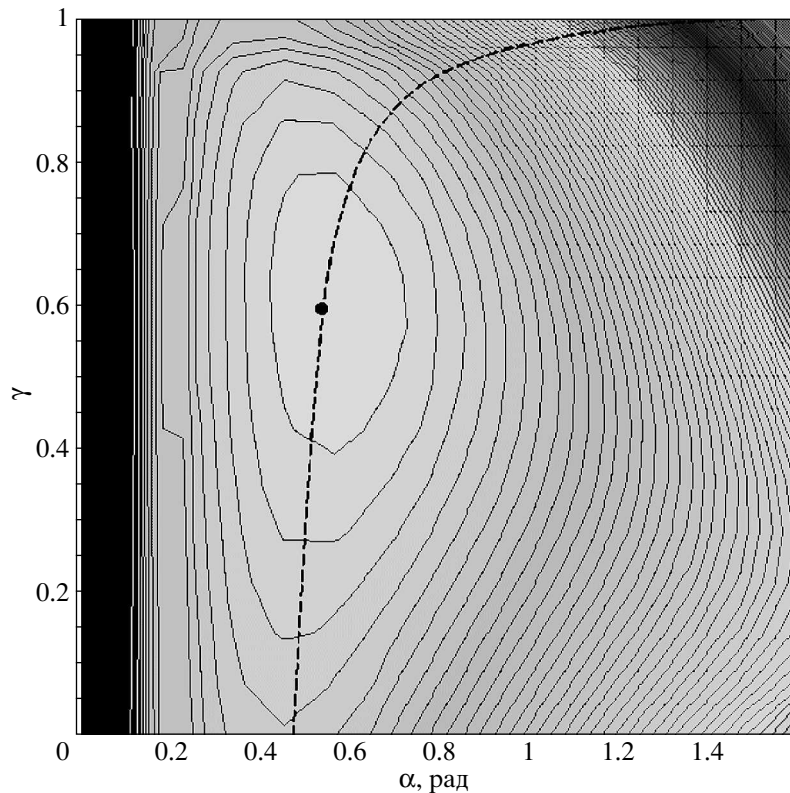
При  $V \rightarrow 0$  условие сильной связи нарушается, т. е.  $W/\sigma \ll K_i/\sigma V^{1/3}$ . В этом случае любые малые возмущения однородного поля директора приводят к резкому увеличению упругих слагаемых в формуле (7). Поэтому  $\Psi_i(\alpha, \gamma) = 0$  и  $\gamma = 0$ . При этом выражение для энергии принимает более простой вид

$$\tilde{\Phi} = \Psi_S(\alpha) + \frac{W}{\sigma} \Psi_W(\alpha, 0), \quad (10)$$

где  $\Psi_W(\alpha, 0)$  — возрастающая функция угла  $\alpha$ , которая имеет аналитическое выражение (см. Приложение II). Конкуренция между поверхностной энергией и энергией сцепления в формуле (10) приводит к появлению минимума  $\tilde{\Phi}$ . Исследуя выражение для энергии (10) на экстремум, можно получить зависимость угла  $\alpha_{cr}$ , который имеют тактоиды малого объема ( $V \rightarrow 0$ ), от безразмерного параметра  $W/\sigma$ :

$$\frac{W}{\sigma} = -\frac{\Psi'_S(\alpha)}{\Psi'_W(\alpha, 0)} = \frac{24\alpha_{cr}}{\sin 2\alpha_{cr} - 2\alpha_{cr}} + \frac{8(\sin \alpha_{cr} - \alpha_{cr} \cos \alpha_{cr})}{\sin \alpha_{cr} - \alpha_{cr} \cos \alpha_{cr} - \frac{1}{3} \sin^3 \alpha_{cr}}. \quad (11)$$

График функции (11) представлен на рис. 3. При  $W/\sigma = 0$ ,  $\alpha_{cr} = \pi/2$  тактоиды имеют форму шара. При  $W/\sigma > 0$ ,  $\alpha_{cr} < \pi/2$  тактоиды вытянуты за счет



**Рис. 4.** Линии уровня и положение минимума энергии (7) при  $C_1 = 10 \text{ мкм}$ ,  $C_3 = 100 \text{ мкм}$ ,  $W/\sigma = 10$  и  $V = 10^3 \text{ мкм}^3$ .  
Штриховая линия показывает изменение положения минимума при изменении объема тактоида

конкуренции между поверхностной энергией и энергией сцепления. При  $W/\sigma \rightarrow \infty$  получаем  $\alpha_{cr} \rightarrow 0$ .

На основе сказанного можно сделать вывод, что при  $V \rightarrow 0$  график зависимости  $R(\alpha)$  должен стремиться к точке  $(\alpha_{cr}, 0)$ . Далее, при увеличении  $V$  этот график приближается к графику зависимости (9), которая соответствует бесконечно сильной связи.

### 2.3. Численное решение

Для исследования энергии (7) на экстремум необходимо знать универсальные безразмерные функции  $\Psi_i(\alpha, \gamma)$  ( $i = 1, 3$ ) и  $\Psi_W(\alpha, \gamma)$ . Они были получены в результате численного интегрирования выражений (I.4), (I.5) и (II.6). На рис. 4 представлены линии уровня и положение минимума энергии (7) при  $K_1/\sigma = 10 \text{ мкм}$ ,  $K_3/\sigma = 100 \text{ мкм}$ ,  $W/\sigma = 10$  и  $V = 10^3 \text{ мкм}^3$ . При изменении объема тактоида положение минимума изменяется вдоль штриховой линии. При  $V \rightarrow 0$  получаем  $\alpha \rightarrow \alpha_{cr}$ ,  $\gamma \rightarrow 0$ . При  $V \rightarrow \infty$  имеем  $\alpha \rightarrow \pi/2$ ,  $\gamma \rightarrow 1$ .

Таким образом, задавая параметры задачи  $K_1/\sigma$ ,

$K_3/\sigma$ ,  $W/\sigma$  и изменения объем  $V$ , мы рассчитывали равновесные значения переменных  $\alpha$  и  $\gamma$ , соответствующие минимуму энергии  $\tilde{\Phi}$ . Далее, с помощью уравнений связи (1) определялись зависимости  $R(\alpha)$ . Они представлены на рис. 5. На этом рисунке кривая 1 отвечает случаю бесконечно сильной связи, которая описывается функцией (9). При конечных значениях  $W/\sigma$  в области больших объемов все кривые приближаются к кривой 1, так как при этом становится справедливым условие сильной связи. В области малых объемов наблюдается отклонение от кривой 1. Вытягивание тактоидов ограничено углом  $\alpha_{cr}$ . С увеличением значения  $W/\sigma$  угол  $\alpha_{cr}$  уменьшается в соответствии с формулой (11).

### 3. ЭКСПЕРИМЕНТАЛЬНЫЕ РЕЗУЛЬТАТЫ И ОБСУЖДЕНИЯ

Сопоставление теоретических зависимостей  $R(\alpha)$  с экспериментальными результатами по измерению

размеров тактоидов различного объема позволяет получить данные о значениях  $K_1/\sigma$ ,  $K_3/\sigma$ ,  $W/\sigma$  и  $K_3/K_1$ . Для этого по методу Бильтца [22] были приготовлены золи пятиокиси ванадия в воде. Концентрация  $C$  золей определялась методом выпаривания сразу после их приготовления. Для золя № 1  $C = 0.5$  масс. %, для золя № 2 значение  $C = 0.6$  масс. %,  $\text{pH} \approx 3$  для обоих золей. Через день после приготовления золи были оптически изотропными. Золи, полученные методом Бильтца, являются неравновесными системами, и тактоидная фаза в них появляется с течением времени. Наши наблюдения показали, что время, через которое появляется тактоидная фаза, зависит от концентрации и  $\text{pH}$  среды. Увеличение  $C$  и  $\text{pH}$  приводит к уменьшению этого времени. Выбранные в работе концентрации и  $\text{pH}$  позволили в течение более полугода изучать зарождение и развитие тактоидной фазы. Примерно через два месяца после приготовления золей в них стало наблюдаться расслоение. В нижних частях сосудов, где хранились приготовленные золи, стала образовываться мутная фаза. В верхних частях сосудов золь оставался прозрачным. Между нижней и верхней фазами наблюдалась четкая граница раздела. С течением времени количество нижней фазы увеличивалось. Поляризационно-оптические наблюдения показали, что нижняя фаза является оптически анизотропной, ее текстура соответствует нематической фазе и в ней под действием магнитного поля возникают магнитогидродинамические домены. Верхняя прозрачная фаза оставалась оптически изотропной. Тактоидная фаза получалась в результате смешивания верхней и нижней фаз. Пропорции, в которых смешивались эти фазы, влияли на количество тактоидов.

Для измерения зависимостей  $R(\alpha)$  исследуемое вещество заправлялось в плоскопараллельные стеклянные капилляры толщиной порядка 200 мкм, которые затем герметизировались пищенином. Толщина капилляров задавалась тефлоновыми прокладками и до заправки измерялась интерференционным методом. Сразу после заправки текстура вещества в капиллярах была анизотропной. С течением времени, которое зависело от «времени старения» и изменялось от часа до суток, мы наблюдали ее расслоение на изотропную и анизотропную области. В дальнейшем анизотропные области принимали форму тактоидов. При этом наблюдалось их распределение по размерам.

Для подтверждения факта, что вытянутая форма тактоидов является равновесной, в капиллярах с исследуемым веществом механически возбуждались

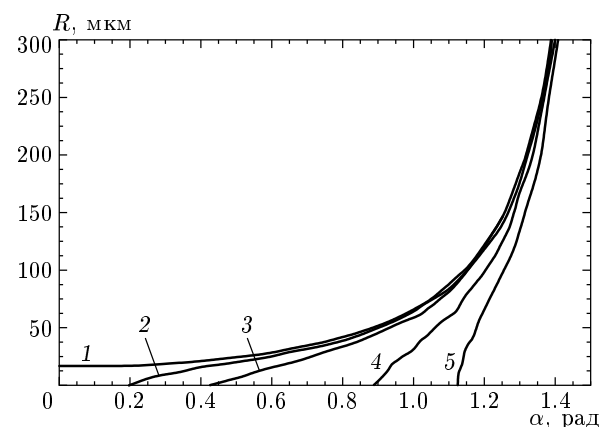


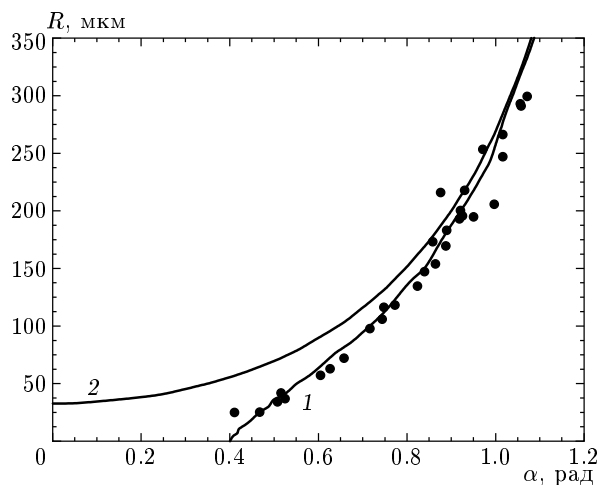
Рис. 5. Графики функций  $R(\alpha)$  при  $C_1 = 4$  мкм,  $C_3 = 40$  мкм и различных значениях  $W/\sigma$ : 1 —  $\infty$ , 2 — 50, 3 — 10, 4 — 2, 5 — 1

потоки. При этом границы тактоидов размывались, в изотропной фазе за счет потоков индуцировалось двулучепреломление. Текстура в целом становилась анизотропной. С течением времени происходил тот же процесс, что и непосредственно после заправки вещества в капилляр. Анизотропные области опять приобретали форму тактоидов.

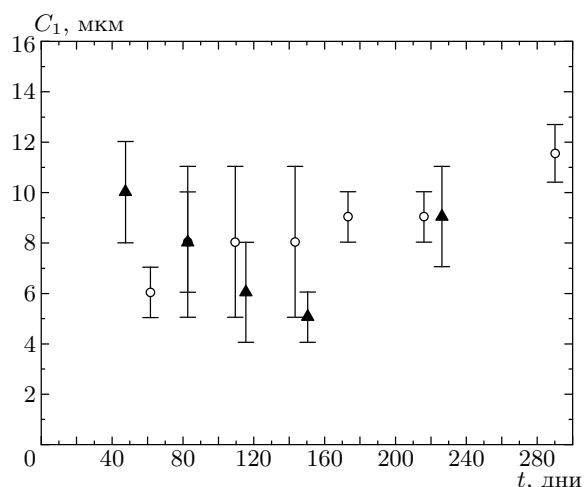
Для того чтобы дать возможность системе прийти в равновесное состояние, все измерения проводились через сутки и более, в зависимости от времени старения, после заправки вещества в капилляр. Измерения проводились с помощью поляризационного микроскопа Axiolab Pol фирмы Zeiss. Изображение через видеокамеру выводилось на монитор. Определение размеров тактоидов выполнялось с помощью приставки Linkam VTO 232. Измерялись только те тактоиды, поперечные размеры которых были меньше толщины ячейки.

Результатом измерений были параметры  $R$  и  $\alpha$  для тактоидов различного объема. На рис. 6 представлена типичная экспериментальная зависимость  $R(\alpha)$  для золя № 2, измеренная через 83 дня после его приготовления. При сопоставлении теоретической и экспериментальных зависимостей  $R(\alpha)$  по методу наименьших квадратов получены значения  $C_1$ ,  $C_3$  и  $W/\sigma$ . Сплошной линией 1 на рис. 6 показана аппроксимирующая кривая. Линия 2 — это график функции (9), построенный при тех же значениях  $C_1$  и  $C_3$ , что и для линии 1.

В результате измерений  $R(\alpha)$  с течением времени старения золей были получены зависимости

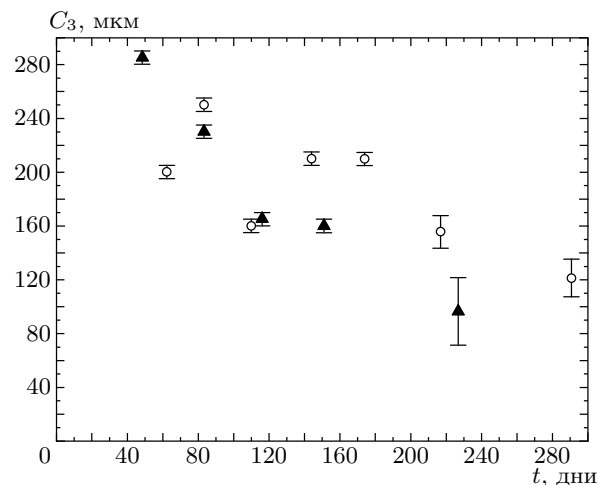


**Рис. 6.** Экспериментальная зависимость  $R(\alpha)$ , полученная для золя №2 ( $C = 0.6$  масс.%) через 83 дня после его приготовления. Линия 1 — теоретическая зависимость, полученная при  $C_1 = 8 \pm 2$  мкм,  $C_3 = 230 \pm 5$  мкм,  $W/\sigma = 12 \pm 2$ , линия 2 — график функции (9), построенный при тех же значениях  $C_1$  и  $C_3$

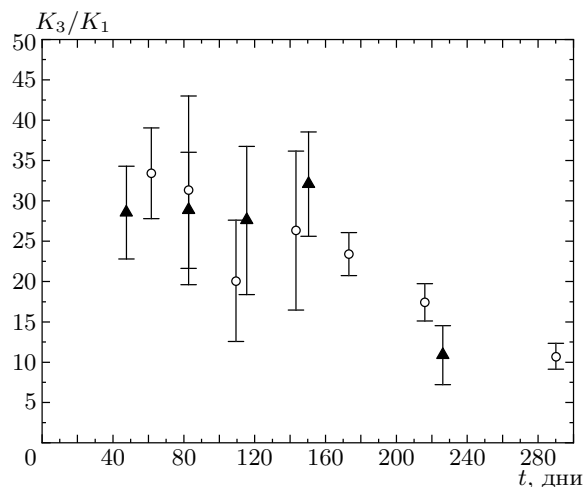


**Рис. 7.** Экспериментальная зависимость  $C_1 = K_1/\sigma$  от времени старения  $t$  золей №1 — ○ и №2 — ▲

$C_1$ ,  $C_3$ ,  $W/\sigma$  и  $K_3/K_1 = C_3/C_1$  от времени старения. Эти зависимости представлены на рис. 7–10. Из рис. 7 следует, что  $C_1 \sim 8$  мкм не зависит от времени и номера золя. Если использовать значение  $K_1 = 4 \cdot 10^{-7}$  дин, полученное из данных по переходу Фредерикса в нематической фазе исследуемой системы [12], и  $C_1 = 8$  мкм, то можно сделать оценку поверхностного натяжения  $\sigma = 5 \cdot 10^{-4}$  эрг/см<sup>2</sup>



**Рис. 8.** Экспериментальная зависимость  $C_3 = K_3/\sigma$  от времени старения  $t$  золей №1 — ○ и №2 — ▲



**Рис. 9.** Экспериментальная зависимость отношения констант упругости  $K_3/K_1 = C_3/C_1$  от времени старения  $t$  золей №1 — ○ и №2 — ▲

на границе тактоида. Такие малые значения поверхностного натяжения приводят к тому, что макроскопические тактоиды являются вытянутыми. Из рис. 8 следует, что  $C_3$  для обоих золей с течением времени уменьшается.

На рис. 9 представлена зависимость отношения констант упругости  $K_3/K_1$  от времени старения. Из этого рисунка следует, что отношение  $K_3/K_1$  для обоих золей имеет тенденцию к уменьшению и изменяется в интервале 30–10. Полученные в работе отношения  $K_3/K_1 \sim 10$  согласуются с аналогичными данными для другой лиотропной нематической

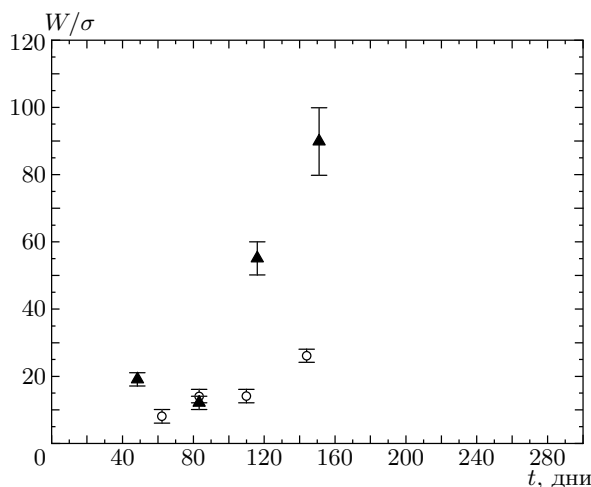


Рис. 10. Экспериментальная зависимость отношения  $W/\sigma$  от времени старения  $t$  золей № 1 — о и № 2 — ▲

фазы — вирус табачной мозаики (TMV)-вода. Для нее значение  $K_3/K_1 = 8.8$  получено на основе изучения магнитогидродинамических доменов [23]. Следует отметить, что в системе TMV-вода, хотя она и не относится к неорганическим лиотропным жидким кристаллам, также наблюдается тактоидная фаза [24]. Кроме того, отношение  $K_3/K_1 \sim 10$  изменено также в нематической фазе  $N_1$  лиотропного жидкого кристалла системы тетрапалладиевый органил — пентадекан [25]. Эти измерения основаны на изучении перехода Фредерикса. По-видимому, большие значения  $K_3/K_1$  связаны с большими значениями отношения длины  $L$  к диаметру  $D$  структурных элементов. Например, для TMV  $L/D \approx 17$  [23], в то время для типичного представителя термотропных жидкких кристаллов параазоксианизола (ПАА)  $L/D \approx 4$  [1].

На рис. 10 представлена зависимость отношения  $W/\sigma$  от времени старения. Из этого рисунка следует, что для обоих золей отношение  $W/\sigma$  с течением времени имеет тенденцию к увеличению и изменяется в интервале 10–100. Для времени старения более 150 дней все полученные экспериментальные зависимости  $R(\alpha)$  хорошо описываются функцией (9), которая соответствует бесконечно сильной связи. Для определения  $W/\sigma$  в этом случае необходимо проводить измерения размеров тактоидов очень малого объема, что ограничено возможностями нашего эксперимента. Если использовать ранее полученную оценку для  $\sigma$  и интервал изменения  $W/\sigma$ , то можно сделать оценку  $W \sim 5 \cdot 10^{-3} - 5 \cdot 10^{-2}$  эрг/см<sup>2</sup>. Полученные значения энергии сцепления  $W$  хорошо со-

гласуются с аналогичными данными, полученными для термотропных жидкких кристаллов [21].

#### 4. ЗАКЛЮЧЕНИЕ

В данной работе нами предложено объяснение вытянутой формы тактоидов, которые наблюдаются в лиотропных неорганических жидкких кристаллах. В основе нашего подхода лежит выражение для свободной энергии тактоида, которое учитывает упругую энергию нематической фазы тактоида, поверхностную энергию, связанную с поверхностным натяжением, и энергию взаимодействия поля директора с границей тактоида, связанную с энергией сцепления. Исследование на экстремум энергии тактоида позволяет определить его равновесную форму, которая зависит от характерных размеров задачи  $K_1/\sigma$ ,  $K_3/\sigma$ , безразмерного параметра  $W/\sigma$  и объема  $V$  тактоида. Показано, что крупные тактоиды, для которых выполняется условие сильной связи, вытянуты за счет конкуренции между упругой и поверхностной энергией. Вытягивание мелких тактоидов при  $V \rightarrow 0$  ограничено конкуренцией между поверхностным натяжением и энергией сцепления. На основе сказанного можно сделать вывод, что для экспериментального наблюдения тактоидной фазы необходимы малые значения поверхностного натяжения и большие значения  $W$  по сравнению с  $\sigma$ .

Сопоставление теоретических зависимостей  $R(\alpha)$  с экспериментальными данными в типичном лиотропном неорганическом жидкком кристалле пятиокись ванадия — вода позволило получить значения  $K_1/\sigma$ ,  $K_3/\sigma$ ,  $K_3/K_1$  и  $W/\sigma$  в зависимости от времени старения исследуемой системы. Оказалось, что отношение  $K_3/K_1$  изменяется в интервале 30–10, что согласуется с аналогичными данными, полученными для некоторых лиотропных жидкких кристаллов. Значение  $W/\sigma$  изменяется в интервале 10–100. Получены оценки  $W \sim 5 \cdot 10^{-3} - 5 \cdot 10^{-2}$  эрг/см<sup>2</sup> и  $\sigma \sim 5 \cdot 10^{-4}$  эрг/см<sup>2</sup>. Значения  $W$  хорошо согласуются с аналогичными данными, известными для термотропных жидкких кристаллов. Однако значение  $\sigma$  очень мало. Это приводит к тому, что нематические капли — тактоиды — являются вытянутыми. Обычно для термотропных жидкких кристаллов ситуация обратная:  $\sigma \sim 10$  эрг/см<sup>2</sup>,  $W \sim 10^{-2}$  эрг/см<sup>2</sup> [21]. Поэтому в них не наблюдается вытянутая форма капель. По-видимому, в полученном в данной работе неравенстве  $W > \sigma$  проявляется одна из особенностей лиотропных неорганических жидкких кристаллов.

## ПРИЛОЖЕНИЕ I

Выражение для плотности упругой энергии  $F_{el}$  нематической фазы имеет вид [1]

$$F_{el} = \frac{K_1}{2}(\operatorname{div} \mathbf{n})^2 + \frac{K_2}{2}(\mathbf{n} \cdot \operatorname{rot} \mathbf{n})^2 + \frac{K_3}{2}(\mathbf{n} \times \operatorname{rot} \mathbf{n})^2, \quad (\text{I.1})$$

где  $K_1, K_2, K_3$  — константы упругости соответственно поперечного изгиба, кручения и продольного изгиба,  $\mathbf{n}$  — директор. Единичный вектор  $\mathbf{n}$  совпадает с ортом  $\mathbf{e}_{\eta_1}$  бисферической системы координат  $\xi_1, \eta_1, \varphi_1$ . В этой системе координат  $\mathbf{n} = (0, 1, 0)$ . Бисферические координаты связаны с декартовыми координатами  $x, y, z$  соотношениями [20]

$$x = \frac{a_1 \sin \xi_1 \cos \varphi_1}{\operatorname{ch} \eta_1 - \cos \xi_1},$$

$$y = \frac{a_1 \sin \xi_1 \sin \varphi_1}{\operatorname{ch} \eta_1 - \cos \xi_1},$$

$$z = \frac{a_1 \operatorname{sh} \eta_1}{\operatorname{ch} \eta_1 - \cos \xi_1},$$

где  $a_1 = R_1 \sin \alpha_1$  — параметр преобразования (рис. 2). Плотность упругой энергии (I.1) в бисферических координатах имеет вид

$$F_{el} = \frac{2K_1 \operatorname{sh}^2 \eta_1}{a_1^2} + \frac{K_3 \sin^2 \xi_1}{2a_1^2}. \quad (\text{I.2})$$

Упругая энергия  $\Phi_{el}$  нематической фазы получается интегрированием выражения (I.2) по объему  $V$  тактоида. Интегрирование удобно проводить в координатах  $\xi, \eta, \varphi$  с параметром  $a = R \sin \alpha$ , описывающим форму тактоида. В этом случае пределы интегрирования имеют простой вид:  $\pi - \alpha \leq \xi \leq \pi$ ,  $-\infty < \eta < \infty$ ,  $0 \leq \varphi \leq \pi$ . При этом якобиан преобразования  $D(\xi_1, \eta_1, \varphi_1 / \xi, \eta, \varphi)$  имеет вид

$$D = 4\gamma [(\operatorname{ch} \eta - \cos \xi)^2 - 2\gamma(\operatorname{ch}^2 \eta + \cos^2 \xi - 2) + \gamma^2(\operatorname{ch} \eta + \cos \xi)]^{-2},$$

где  $\gamma = (\operatorname{tg}(\alpha_1/2) / \operatorname{tg}(\alpha/2))^2$ . Для упругой энергии  $\Phi_{el}$  окончательно получаем

$$\Phi_{el} = \frac{a\gamma}{2} \int_0^{2\pi} d\varphi \int_{-\infty}^{\infty} d\eta \times \times \int_{\pi - \alpha}^{\pi} \frac{4K_1 \operatorname{sh}^2 \eta \sin \xi + K_3 \sin^3 \xi}{(\operatorname{ch} \eta - \cos \xi)^3} D d\xi. \quad (\text{I.3})$$

Сравнение (I.3) с формулой (3) позволяет записать

$$\Phi_{el}^{(1)}(\alpha, \gamma) = 4\pi\gamma \sin \alpha \times \times \int_{-\infty}^{\infty} d\eta \int_{\pi - \alpha}^{\pi} \frac{\operatorname{sh}^2 \eta \sin \xi}{(\operatorname{ch} \eta - \cos \xi)^3} D d\xi, \quad (\text{I.4})$$

$$\Phi_{el}^{(3)}(\alpha, \gamma) = \pi\gamma \sin \alpha \times \times \int_{-\infty}^{\infty} d\eta \int_{\pi - \alpha}^{\pi} \frac{\sin^3 \xi}{(\operatorname{ch} \eta - \cos \xi)^3} D d\xi. \quad (\text{I.5})$$

При  $\gamma = 1$  интегралы (I.4), (I.5) вычисляются аналитически и имеют вид

$$\Phi_{el}^{(1)}(\alpha, 1) = 4\pi(\sin \alpha - \alpha \cos \alpha),$$

$$\Phi_{el}^{(3)}(\alpha, 1) = \pi(3 \sin \alpha - 3\alpha \cos \alpha - \alpha^2 \sin \alpha).$$

## ПРИЛОЖЕНИЕ II

Энергия  $\Phi_W$  взаимодействия поля директора с поверхностью вычисляется по формуле (5). Интегрирование в (5) проводится по поверхности тактоида. Вычисление  $\Phi_W$  удобно проводить в бисферических координатах. При этом элемент площади  $dS$  поверхности тактоида можно записать в виде

$$dS = \frac{a^2 \sin \alpha}{(\operatorname{ch} \eta + \cos \alpha)^2} d\eta d\varphi. \quad (\text{II.1})$$

Здесь учтено, что на границе тактоида  $\xi = \pi - \alpha$ . Пределы интегрирования следующие:  $-\infty < \eta < \infty$ ,  $0 \leq \varphi \leq 2\pi$ . Значение  $\sin^2 \theta$  вычисляется по формуле

$$\sin^2 \theta = 1 - (\mathbf{e}_{\eta_1} \cdot \mathbf{e}_\eta)^2, \quad (\text{II.2})$$

где  $\mathbf{e}_{\eta_1}$  и  $\mathbf{e}_\eta$  — нормированные орты бисферических координат соответственно  $\xi_1, \eta_1, \varphi_1$  и  $\xi, \eta, \varphi$ . Декартовы компоненты  $\mathbf{e}_\eta$  равны

$$\mathbf{e}_{\eta_x} = -\frac{\sin \xi \operatorname{sh} \eta \cos \varphi}{\operatorname{ch} \eta - \cos \xi},$$

$$\mathbf{e}_{\eta_y} = -\frac{\sin \xi \operatorname{sh} \eta \sin \varphi}{\operatorname{ch} \eta - \cos \xi},$$

$$\mathbf{e}_{\eta_z} = \frac{1 - \operatorname{ch} \eta \cos \xi}{\operatorname{ch} \eta - \cos \xi}. \quad (\text{II.3})$$

Аналогично записываются декартовы компоненты  $\mathbf{e}_{\eta_1}$ . При этом в формулах (II.3) надо провести замену  $\xi \rightarrow \xi_1, \eta \rightarrow \eta_1, \varphi \rightarrow \varphi_1$ . Использование декартовых компонент  $\mathbf{e}_{\eta_1}$  и  $\mathbf{e}_\eta$  позволяет рассчитать скалярное произведение  $(\mathbf{e}_{\eta_1} \cdot \mathbf{e}_\eta)$ . Полученный результат зависит от  $\xi_1, \eta_1, \varphi_1$  и  $\xi, \eta, \varphi$ . Выражая  $\xi_1, \eta_1, \varphi_1$  через  $\xi, \eta, \varphi$  и учитывая, что на границе тактоида  $\xi = \pi - \alpha$ , получаем

$$\sin^2 \theta = \frac{2(\gamma - 1)^2 \sin^2 \alpha \operatorname{sh}^2 \eta}{2(\gamma + 1)^2 - 4(\gamma^2 - 1) \cos \alpha \operatorname{ch} \eta + (\gamma - 1)^2 (\cos 2\alpha + \operatorname{ch} 2\eta)}. \quad (\text{II.4})$$

С учетом сказанного выражение для энергии  $\Phi_W$  имеет вид

$$\Phi_W = \frac{WR^2 \sin^3 \alpha}{2} \int_0^{2\pi} d\varphi \int_{-\infty}^{\infty} \frac{\sin^2 \theta}{(\operatorname{ch} \eta + \cos \alpha)^2} d\eta, \quad (\text{II.5})$$

где величина  $\sin^2 \theta$  задана формулой (II.4). Сравнение (II.5) с формулой (6) позволяет записать

$$\Phi_W(\alpha, \gamma) = \pi \sin^3 \alpha \int_{-\infty}^{\infty} \frac{\sin^2 \theta}{(\operatorname{ch} \eta + \cos \alpha)^2} d\eta. \quad (\text{II.6})$$

При  $\gamma = 0$  интеграл (II.6) вычисляется аналитически и имеет вид

$$\Phi_W(\alpha, 0) = \pi \left( \sin \alpha - \alpha \cos \alpha - \frac{1}{3} \sin^3 \alpha \right).$$

## ЛИТЕРАТУРА

1. П. де Жен, *Физика жидкокристаллов*, Мир, Москва (1977).
2. Л. М. Блинов, *Электро- и магнитооптика жидкокристаллов*, Наука, Москва (1978).
3. С. А. Пикин, *Структурные превращения в жидкокристаллах*, Наука, Москва (1981).
4. А. А. Веденов, Е. Б. Левченко, УФН **141**, 3 (1983).
5. А. С. Сонин, УФН **153**, 273 (1987).
6. А. С. Василевская, Э. В. Генералова, А. С. Сонин, Успехи химии **LVIII**, 1575 (1989).
7. А. С. Сонин, Коллоид. ж. **60**, 149 (1998).
8. A. S. Sonin, J. Mater. Chem. **8**, 2557 (1998).
9. P. Davidson, C. Bourgaux, L. Schouteten et al., J. de Phys. II **5**, 1577 (1995).
10. J.-C. P. Gabriel and P. Davidson, Adv. Mater. **12**, 9 (2000).
11. А. В. Казначеев, А. Ю. Ковалевский, И. А. Ронова и др., Коллоид. ж. **62**, 606 (2000).
12. Э. В. Генералова, А. В. Казначеев, А. С. Сонин, Кристаллография **46**, 127 (2001).
13. А. В. Казначеев, М. М. Богданов, С. А. Тараксин, ЖЭТФ **122**, 68 (2002).
14. H. Zocher and K. Jacobsohn, Kolloid Beih. **28**, 167 (1929).
15. A. Szegvari, Z. Phys. Chem. **112**, 295 (1924).
16. H. Zocher, Kolloid Z. **139**, 81 (1954).
17. W. Heller, in *Polymer Colloids II*, ed. by R. M. Fitch, Plenum Press, New York-London (1980), p. 153.
18. М. В. Курик, О. Д. Лаврентович, УФН **154**, 381 (1988).
19. В. де Же, *Физические свойства жидкокристаллических веществ*, Мир, Москва (1982).
20. Г. Арфкен, *Математические методы в физике*, Атомиздат, Москва (1970).
21. Л. М. Блинов, Е. И. Кац, А. А. Сонин, УФН **152**, 449 (1987).
22. W. Biltz, Ber. Deutsch. Chem. Ges. **37**, 109 (1904).
23. A. J. Hurd, S. Fraden, F. Lonberg et al., J. de Phys. **46**, 905 (1985).
24. J. Bernal and J. Fankuchen, Nature **139**, 923 (1937).
25. А. В. Казначеев, К. Praefcke, А. С. Сонин и др., Коллоид. ж. **64**, 468 (2002).